

#### MEDICIONES Y EVALUACION DEL COMPORTAMIENTO TERMICO DE LA VIVIENDA SOLAR DE ABRA PAMPA

R. Caso, G. Lesino\* y L. Saravia\*

INENCO\*, Universidad Nacional de Salta  
Buenos Aires 177 - 4400 Salta

Rafael Requena  
INTA - Balcarce  
Provincia de Buenos Aires  
y  
INTA - Balcarce  
Provincia de Buenos Aires

#### RESUMEN.

A fines de 1986 se finalizó la construcción de la vivienda solar de Abra Pampa. A partir de ese momento se instaló un equipo de medición automático para el monitoreo de datos climáticos y temperaturas dentro de la vivienda. En la actualidad se cuenta con casi un año de datos que muestran el comportamiento térmico del edificio.

En el presente trabajo se expone los resultados de dichas mediciones, se evalúa la eficiencia de los muros colectores acumuladores orientados al norte y al oeste e invernadero con colección norte y este. Las temperaturas internas en verano e invierno presentan un muy buen comportamiento con medias de unos 20°C y fluctuaciones totales de alrededor de 4 - 5°C.

#### INTRODUCCION.

Durante 1986 se finalizó la construcción de la vivienda para el Director de la subestación Experimental del INTA en Abra Pampa (1,2) y se están realizando mediciones del comportamiento térmico de la misma, desocupada, desde diciembre de 1986. Ellas continuarán en el futuro, completándose por lo menos un año en estas condiciones y continuando luego con la presencia de los habitantes.

En el parágrafo 2 se describen someramente las características del edificio y las condiciones climáticas, en el 3 se muestran los resultados y se realizan comentarios específicos sobre los mismos y en el 4 se establecen las conclusiones generales.

#### DESCRIPCION DEL EDIFICIO Y CLIMA.

La Subestación experimental del INTA donde se encuentra la vivienda se halla en la Puna Saltense a 3500m de altura sobre el nivel del mar, a 19 Km de la ciudad de Abra Pampa a una latitud de 22 grados sur. Como es sabido, la región tiene niveles de radiación muy altos y el clima es frío y seco, con una media anual de 9°C, 14°C en verano y 4°C en invierno. Las temperaturas mínimas de invierno son frecuentemente inferiores a los -10°C. La humedad ambiente es baja, existiendo unos 4 gramos de agua por kilo de aire seco, en invierno.

La figura 1 muestra una planta de la vivienda que tiene un área cubierta de 208 m<sup>2</sup> con una modulación de 4m x 4m. consta de dos dormitorios, estar, cocina-comedor, dos baños, lavadero y despensas, garage

\* Investigador del CONICET  
Instituto UNSA.-CONICET

en invernáculo. Los muros no colectores son de piedra de origen local (cuarcita), dobles, con aislación de poliestireno expandido de alta densidad ( $2\text{Kg/m}^3$ ) de 10 cm y barreras de vapor de polietileno de madera. La vivienda está construida sobre una planta de hormigón, habiéndose colocado una aislación térmica de 5cm entre ella y el suelo. Los pisos son de baldosas cerámicas de azotea, oscuras.

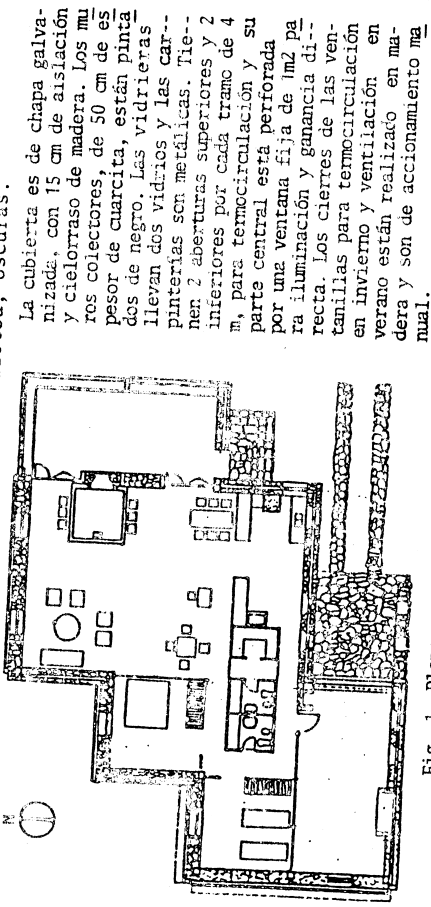


Fig. 1 Plano

Las fig. 2, 3 y 4 muestran temperaturas de verano, otoño e invierno y neves fotovoltaicos. Los sensores de temperatura son termocuplas de adquisición. Las medidas de radiación global sobre superficie horizontal y vertical se realizan con solarímetros Kipp y Zonen. El registro horario de los datos se realizan en cinta magnética que es leída luego en Salta mediante una interfase.

#### Instrumental:

La toma de datos se ha realizado con un equipo automático marca Releneles fotovoltaicos. Los sensores de temperatura que se cargan con cobre constante con compensación electrónica de cero en el sistema de adquisición. Las medidas de radiación global sobre superficie horizontal y vertical se realizan con solarímetros Kipp y Zonen. El resultado horario de los datos se realizan en cinta magnética que es leída luego en Salta mediante una interfase.

#### Resultados:

Las figs. 2, 3 y 4 muestran temperaturas globales en los mismos días. Se aprecia el excelente comportamiento térmico durante todo el año con valores promedio de unos  $20^\circ\text{C}$  y fluctuaciones menores de  $6^\circ\text{C}$  en invierno en las zonas de mayor ocupación. Estas tienen temperaturas muy próximas entre sí a pesar de su diferente posición y orientación dentro de la vivienda gracias a la distribución de los colectores y a la temperatura interior. El techo permite la uniformización de la temperatura para los vehículos, actuando como cámara entre el interior y el exterior.

Las temperaturas del invernáculo exhiben el comportamiento típico de

estos locales que reciben alta insolación.

#### Invernáculo:

Las temperaturas de invierno y verano aparecen en las fig. 8 y 9. Se ha calculado su eficiencia en régimen de días similares para poder despreciar los efectos de acumulación. El calor Q transferido por día del estar y comedor se ha calculado teniendo en cuenta las componentes a través de puertas, banderolas y muros. La transferencia convectiva por aberturas se ha evaluado con la fórmula (3).

$$Q = \frac{2}{3} W C V g (h/2)^3 (\Delta T)^3 / T_0 \cdot \sigma \cdot C_p$$

donde  $W$  es el ancho de la abertura,  $h$  su altura,  $C$  el coeficiente de transferencia entre la temperatura absoluta medida  $\Delta T$ , la diferencia de temperatura entre los recipientes conectados,  $\sigma$  es la densidad del aire y  $C_p$  su calor específico. Para el  $1/8/87$ , la radiación global recibida, teniendo en cuenta la diferencia de orientación es de  $595 \text{ MJ/día}$ .

Por no contarse con solarímetros al este y oeste, la radiación sobre dichos planos verticales se ha obtenido por el método de Liu-Jordan, ajustando la global horizontal y vertical norte.

La eficiencia así definida, con puertas y banderolas totalmente abiertas, es del 40%. Cada una de ellas transfiere la mitad de la energía total. Este valor es intermedio entre el estimado para ganancia directa (60%) y el de un invernáculo con conexiones esencialmente conductivas a través de muros (20%).

Tiene sentido la comparación ya que nos encontramos en un caso intermedio puesto que el área de banderolas y puertas constituye un 60% del total del área de contacto entre invernáculo y comedor.

Para verificar estos valores se realizarán medidas directas de velocidad y temperatura del aire en las aberturas, validando el valor del coeficiente de descarga usado.

Las temperaturas interiores máximas llegan a los  $30^\circ\text{C}$  en invierno y a los  $40^\circ\text{C}$  en verano. Dado el buen comportamiento general de la vivienda, los usuarios podrán, si así lo desean, ventilar el invernáculo para tener allí mejores condiciones de confort y hacer posible el uso de este espacio.

#### Muros colectores acumuladores:

Los muros colectores acumuladores norte en invierno presentan una eficiencia de 26%, 40% de la transferencia de energía se realiza por termocirculación. Este valor es razonable ya que las ventanillas fueron diseñadas con un área mayor del 2% del muro.

En la bibliografía suelen encontrarse valores mayores pero los resultados provienen de países donde la absorción de los vidrios es mucho menor debido a un más bajo contenido de hierro. Nuestras simulaciones numéricas son coherentes con el resultado medido.

Las temperaturas máximas alcanzadas en la superficie exterior del muro llegan a los  $47^\circ\text{C}$ . Dada la absorción de radiación ya mencionada es lo diseñado del orden de 0.9.

El retardo a través del muro es de unas cinco horas. Para los parámetros térmicos de la cuarcita la velocidad de propagación del máximo de la temperatura es de 7.5 cm/hora. Con un espesor de 50cm el retardo

## Esperado sería de unas 6 horas.

La eficiencia de los muros colectores oeste en invierno es 10%, menor que el de los norte. Los parámetros de los muros colectores oeste en invierno, muestra que la radiación es 10%, valor menor que el de los norte. Las simulaciones numéricas, a igualdad de otros parámetros, muestran que la eficiencia de estos sistemas disminuye al bajar la radiación. Sin embargo, la contribución de estos muros al acondicionamiento del ambiente, manteniendo su temperatura sobre los 10°C.

## Estratificación:

Es interesante analizar la existencia de estratificación Fig. 8. En la se ha graficado la temperatura del cielorraso, de la superficie del piso, y de los ventilates inferiores, a 2m del piso, sobre el cielorraso. Se puede observar escasa estratificación la escasa para intensificar el efecto de buena convección global. D. Balcomb (5) ha marcado que esto suele suceder cuando existe radiación nocturna.

En la Fig. 9 se puede observar el efecto de la radiación nocturna en la charpa del techo, la que llega a estar 11°C por debajo de la ambiental exterior. Se ha graficado la temperatura exterior del techo, cielorraso y ambiente.

## CONCLUSIONES GENERALES.

En general el comportamiento de la vivienda es muy satisfactorio y se hace los usuarios un uso adecuado de los controles manuales y diferentes épocas del año. Se observa un valor medio de la temperatura de la vivienda y en las diferentes estaciones del año. Las fluctuaciones son reducidas (y se pueden reducir aún más por cierre de ventanillas 100% solar). Esto implica un buen funcionamiento de la conductividad de la cuarcita y a las bajas infiltraciones. No hemos logrado obtener estos resultados con muros de adobe.

En el futuro se continuará con las mediciones ya mencionadas en el trámite en lo que respecta al aspecto hídrico del confort.

## BIBLIOGRAFIA.

- 1.- G. Lessino, R. Ovejero, L. Saravia y R. Requena. Análisis térmico de una vivienda con uso de energía solar para la Puna. Actas de la 4a Reunión de la ASADES, 1978, La Plata.
- 2.- G. Lessino, R. Requena et al. Edificios solares en la Puna; situación de su construcción y avance de su construcción, 1981, Rosario.
- 3.- D. Balcomb et al. Natural convection air flow measurements and theory. 9th National Passive Solar Conference, 1984, Ohio, USA.

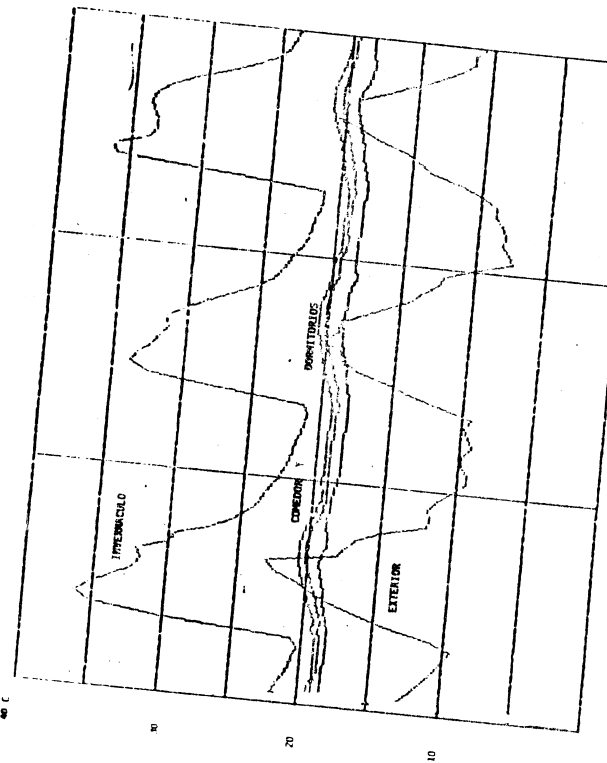


Fig. 1 Temperaturas invierno  
26/12

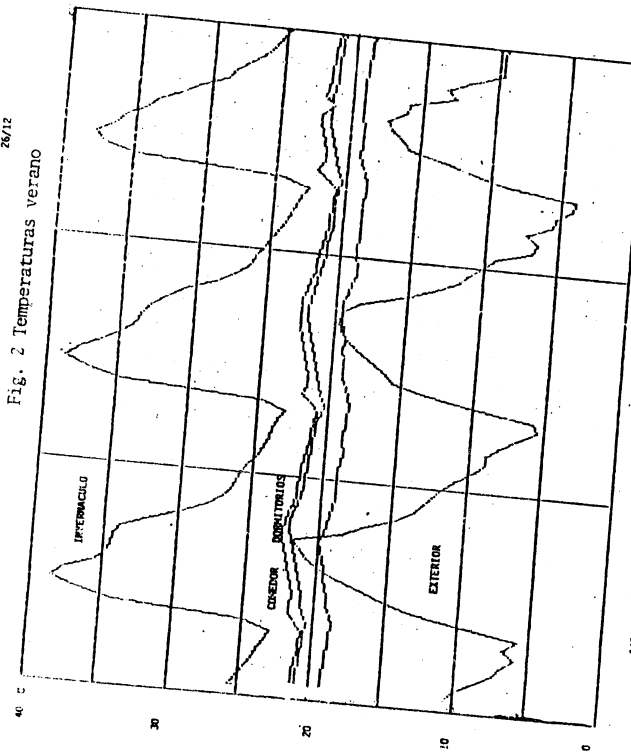
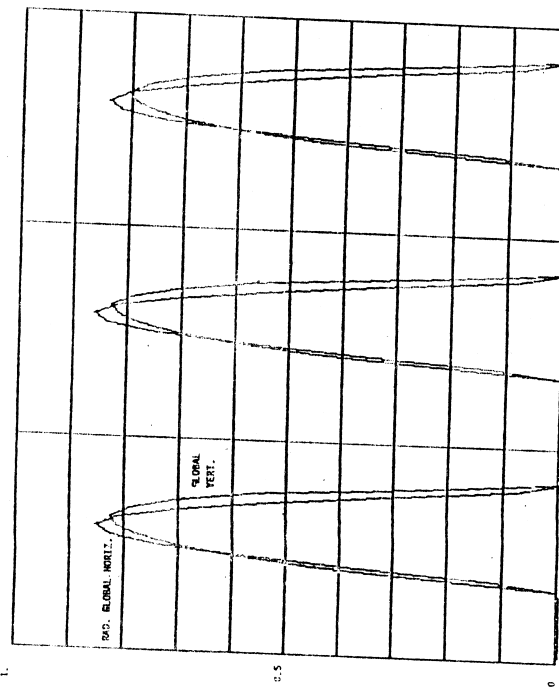
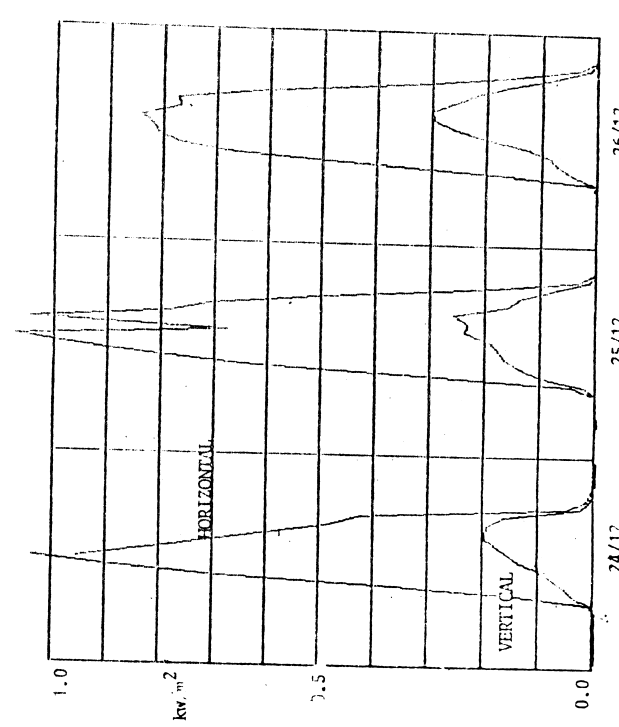
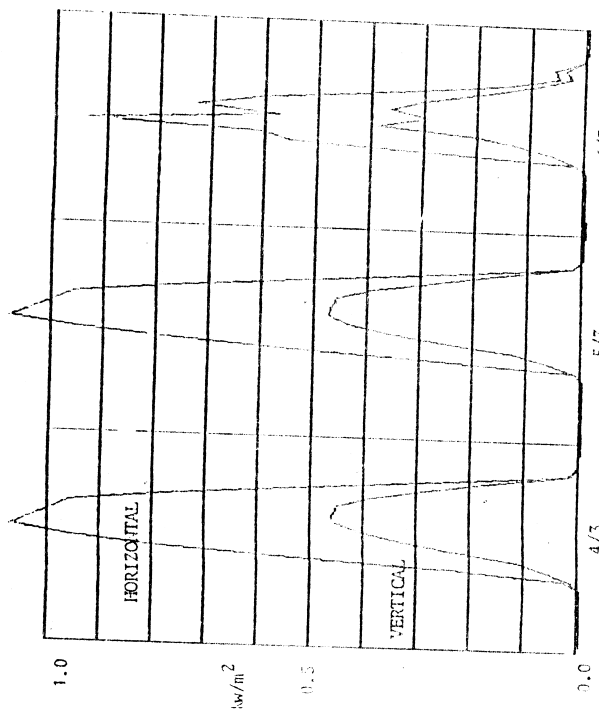
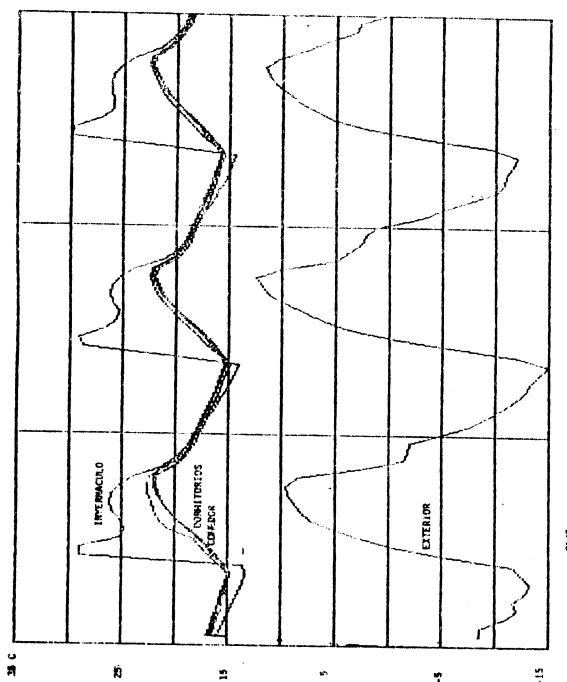


Fig. 2 Temperaturas verano  
26/12

Fig. 3 Temperaturas otoño  
5/3



SIMULACION COMPUTACIONAL DEL COMPORTAMIENTO TERMICO  
DE EDIFICIOS PARA VERANO

Adriana Binda\* y Graciela Lesino\*

INENCO#, Universidad Nacional de Salta  
Buenos Aires 177 - 4400 Salta

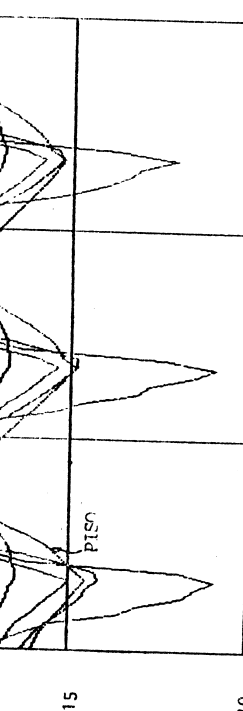


Fig. 8 Estratificación

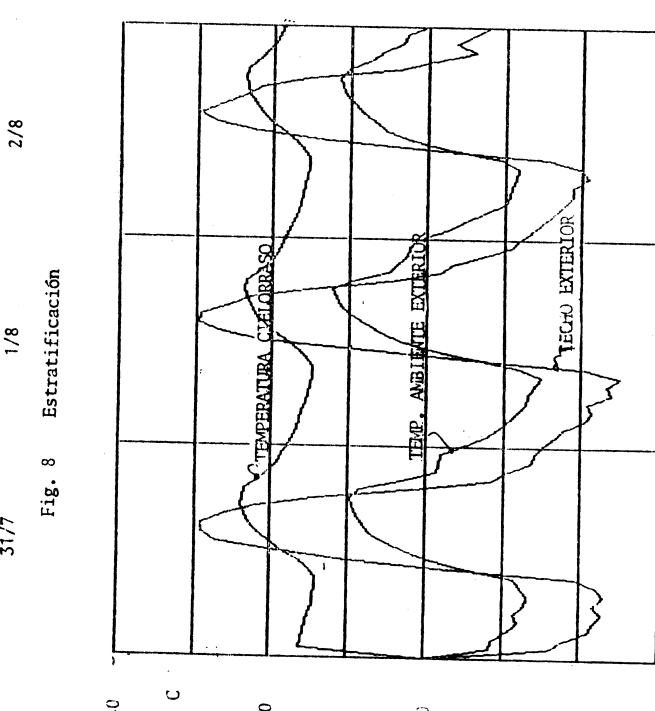


Fig. 9 Enfriamiento del techo

en INENCO se ha desarrollado un programa de simulación del comportamiento térmico de edificios para computadoras personales, SIMEDIF, que ha sido adaptado, por sus posibilidades de cálculo y módulos de uso, para el tratamiento de problemas de calefacción.

Permite una descripción detallada más precisa en lo que se refiere al comportamiento en verano, se han realizado las modificaciones agregadas siguientes:

• Incorporación de convección natural a través de aberturas (puertas) y ventilación en forma horaria del número de renovaciones de aire de locales.

• Facilitar la tarea de entrada de datos, generalmente tediosa por el alto grado de detalle de descripción del edificio que es necesario, se ha implementado el programa DESCRIPT (descripción de vivienda y datos meteorológicos). Además, y con el objeto de disminuir el tiempo de cálculo se ha traducido el programa original escrito en BASIC intérprete, a QBASIC compilado.

• Datos horarios de temperatura y radiación pueden entrarse directamente, o bien, si no se cuenta con ellos, estos se estiman a partir de la radiación diaria y de temperatura máximas, mínimas y medias de cada día de cálculo. A partir de estos datos y conocida la temperatura inicial de los locales, se calcula la evolución térmica de cada local en el tiempo según sus conexiones con otros locales.

La popularización de computadoras personales con velocidades razonables permite encarar el desarrollo de programas de cálculo horario que involucran un tiempo aceptable si se admite un cierto sacrificio en la exactitud de los resultados mediante el uso de modelos numéricos sencillos.

El programa que se presenta VSIMEDIF es una versión modificada del SIMEDIF (1), que implementa un método de cálculo de este tipo, con el objeto de adaptarlo al cálculo de verano. El agregado de un módulo termodinámico, permite simular la convección natural entre recintos conectados por puertas que se abren y cierran a horas determinadas. Por el momento, en los datos meteorológicos se han incorporado los valores horarios de dirección y velocidad del viento.

\* Secretaría del Consejo de Investigación UNSA.  
Investigador del CONICET  
Instituto UNSA - CONICET